



Table 1. Molecular characteristics of

sample

L1	1.60	3.2
L2	2.39	5.1
L3	6.2	6.0

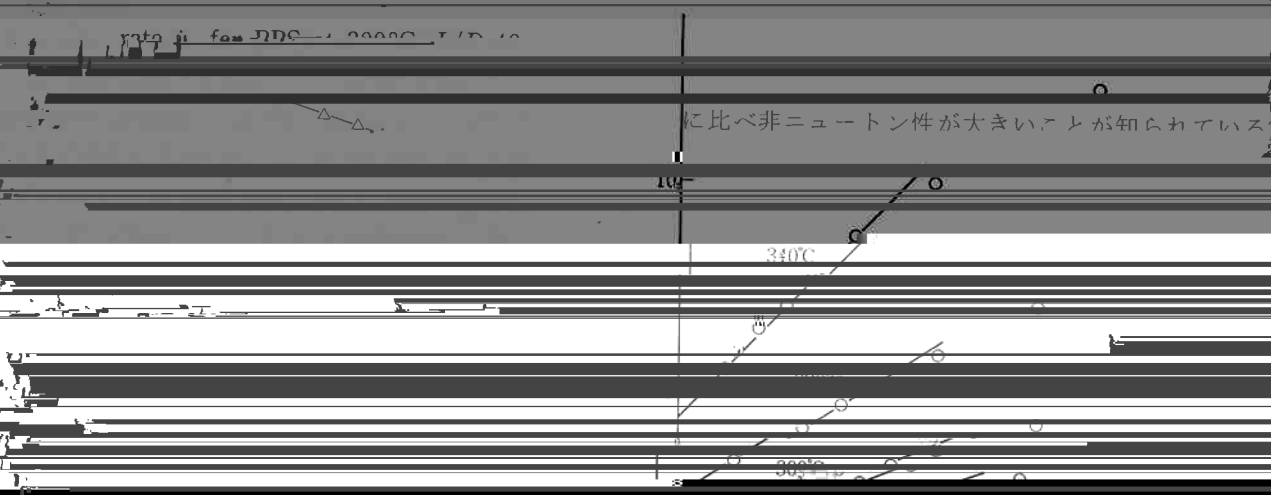
(2)

B2	3.27	6.5
----	------	-----

$$\eta_w = \frac{\tau_w}{\gamma_w}$$



Fig. 2. Plot of  $\dot{\gamma}_w$  (sec<sup>-1</sup>) vs.  $\tau_w$  (sec<sup>-1</sup>)



に比べ非ニュートン性が大きいと知られている

340°C

360°C

10<sup>4</sup>

B2  $\Delta$

10<sup>3</sup>

L3

$\lambda$  (G°C<sup>-1</sup>)

Fig. 5 Plots of shear modulus  $\lambda$  versus temperature

320°C and 340°C, L/D 40.

10<sup>3</sup>

M

L1

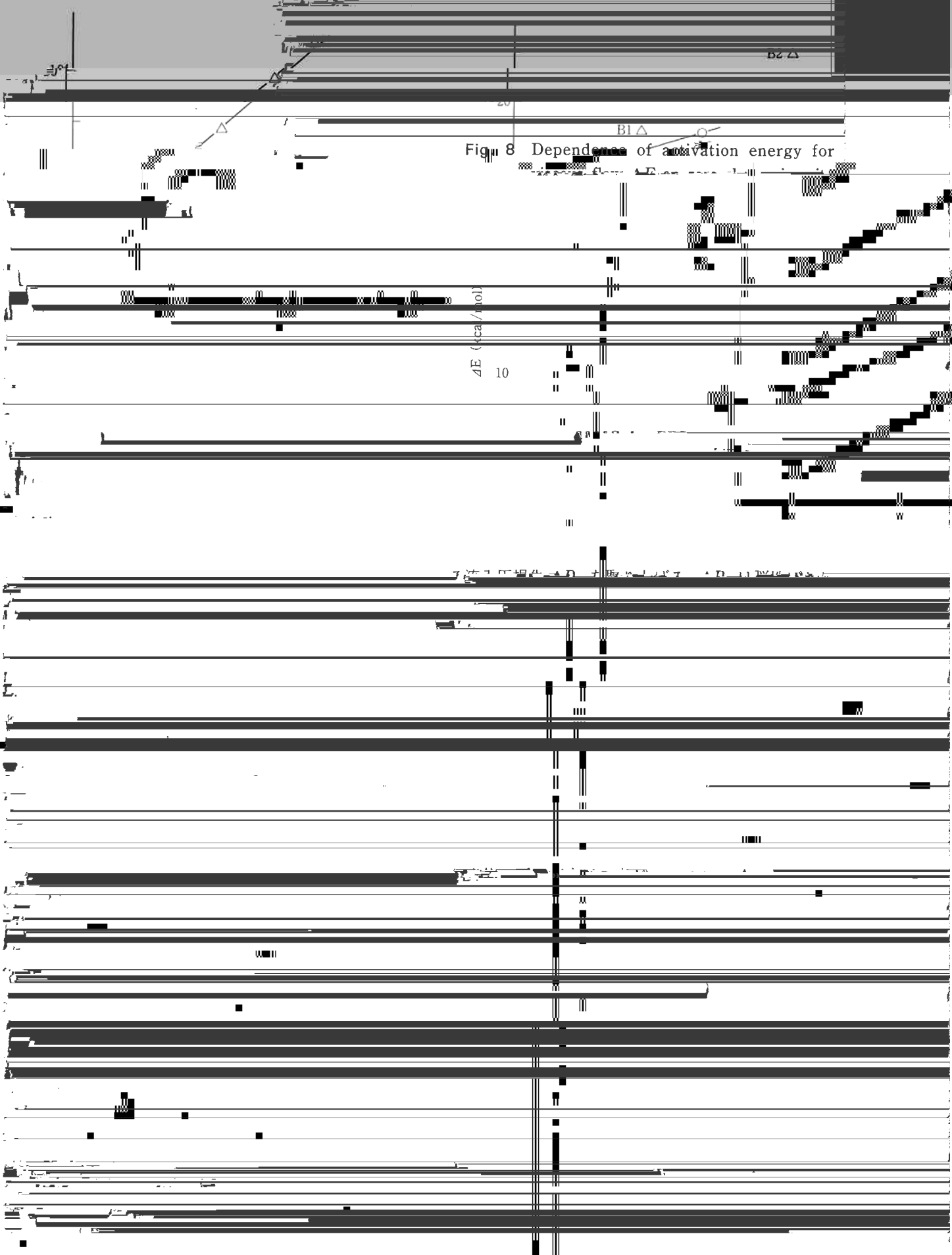
B<sub>2</sub>Δ

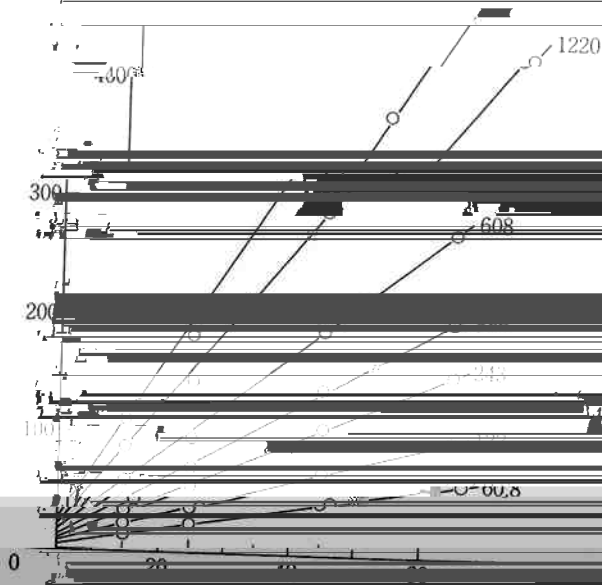
B<sub>1</sub>Δ

Fig. 8 Dependence of activation energy for

ΔE (kcal/mol)

10



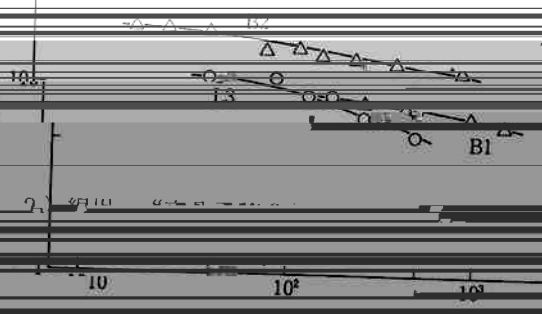


文献  
 量で比較した場合

1) C. V. ...

これは、及び ...

00.8



2) I. T. Edmonds, I. ...